

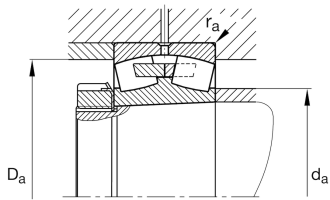
**FAG****24072-BEA-XL-K30-MB1-C3**

Rodamiento oscilante de rodillos

Rodamientos oscilantes de rodillos 240...-BEA-K30, medidas principales según DIN 635-2, con agujero cónico, conicidad 1:30

**X-life**

## Información técnica



## Variante de su producto actual

Ejecución	BEA	Con anillo de labio sin centro
Tipo de agujero	K30	Cónico, conicidad 1:30
Jaula	MB1	Jaula maciza de latón
Juego radial del rodamiento	C3 (Group 3)	Internal clearance larger than CN
Función de relubricación	Norma	Estándar

## Medidas principales y datos de rendimiento

d	360 mm	Diámetro del agujero
D	540 mm	Diámetro exterior
B	180 mm	Anchura
C <sub>r</sub>	3.650.000 N	Capacidad de carga dinámica, radial
C <sub>0r</sub>	6.600.000 N	Capacidad de carga estática, radial
C <sub>ur</sub>	570.000 N	Límite de carga por fatiga, radial
n <sub>G</sub>	1.040 1/min	Velocidad límite de rotación
n <sub>gr</sub>	570 1/min	Velocidad de referencia
≈m	142 kg	Peso

## Medidas de montaje

d <sub>a min</sub>	378 mm	Diámetro mínimo resalte del eje
D <sub>a max</sub>	522 mm	
r <sub>a max</sub>	4 mm	Radio máximo de la ranura



### Medidas

$r_{min}$	5 mm	Medidas mínimas del chaflán
$D_1$	476,4 mm	Diámetro del agujero del anillo exterior
$d_s$	9,5 mm	Diámetro del agujero de engrase
$n_s$	17,7 mm	Anchura de la ranura de lubricación

### Rango de temperatura

$T_{min}$	-30 °C	Temperatura mín. de funcionamiento
$T_{max}$	200 °C	Temperatura máx. de funcionamiento

### Factores de cálculo







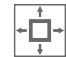


$e$	0,3	Valor límite de $F_a/F_r$ para la aplicabilidad de dif. Valores de los factores X e Y
$Y_1$	2,23	Factor de carga axial dinámica
$Y_2$	3,32	Factor de carga axial dinámica
$Y_0$	2,18	Factor de carga axial estática

### Información adicional

AH24072-H

Withdrawal sleeve

### Características

	Carga radial
	Carga axial en un sentido
	Carga axial en ambos sentidos
	Lubricación con grasa
	Lubricación con aceite
	No obturado
	Gran rodamiento
	Errores de alineación estáticos
	Errores de alineación dinámicos